

514 150

534 150

554 150

574 150

Carte géologique

4 290 000

4 290 000

4 270 000

4 270 000

4 250 000

4 250 000

4 230 000

4 230 000

4 210 000

4 210 000

4 190 000

4 190 000

4 170 000

4 170 000

4 150 000

4 150 000

4 130 000

4 130 000

0 7.5 15 22.5 30 37.5 km

Echelle 1/750 000

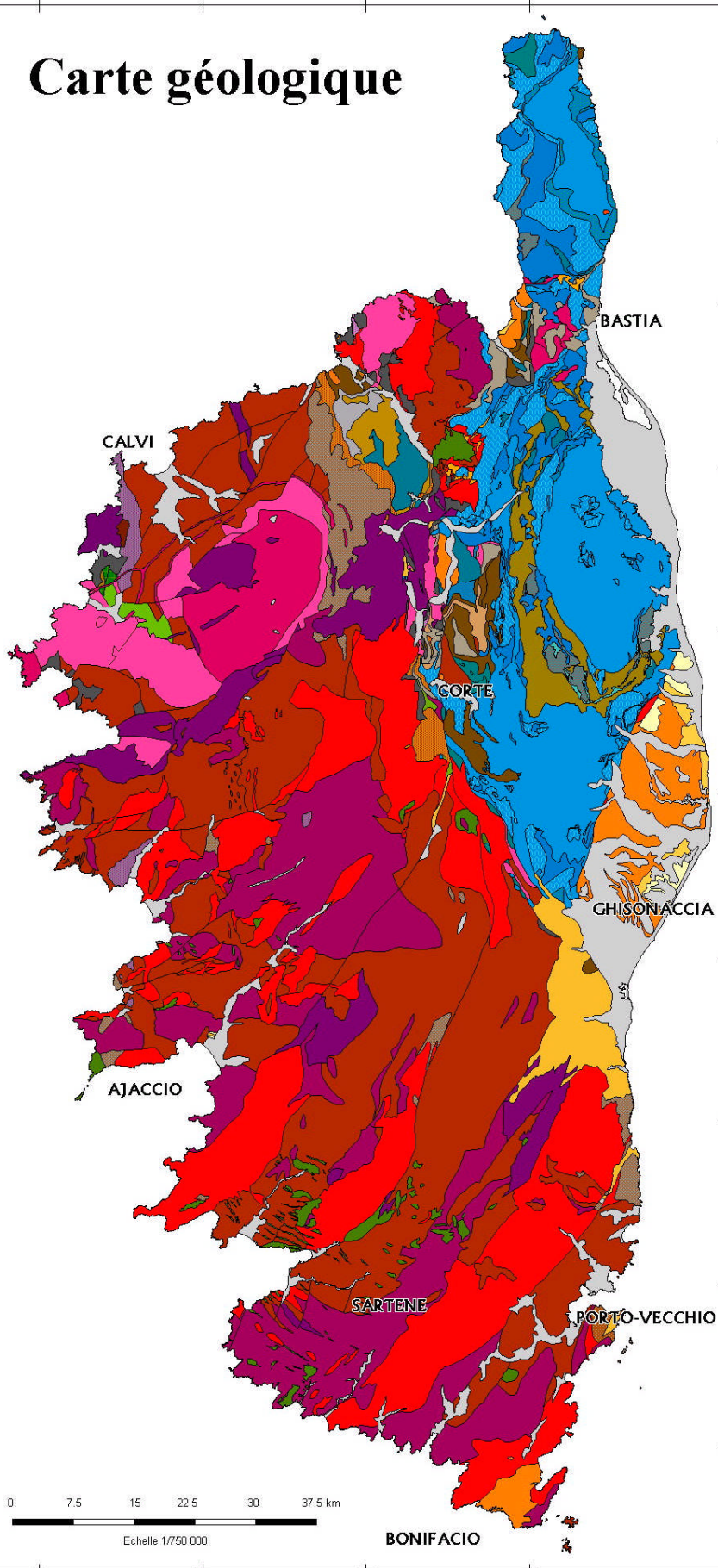
BONIFACIO

514 150

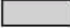
534 150

554 150

574 150



TERRAINS QUATERNAIRES


 Dépôts alluviaux, colluviaux, éoliens et littoraux


TERRAINS PRIMAIRES

Complexe liés à l'ouverture de la mer tyrrhénienne méridionale


 Conglomérats, grès et argiles continentaux - Formation de Pen - Marnes et siltites à foraminifères benthiques

Complexe liés à l'ouverture du bassin des baléares et de la mer tyrrhénienne septentrionale


 Sables et conglomérats deltaïques - Calcaires à faciès récifal, sables et marnes - Conglomérats continentaux


 Sill lamproïtique


 Conglomérats, brèches, sables fluvio-marins, calcarénites et calcaires récifaux


 Rhyolites et rhyodacites calco-alkalines principalement ignimbritiques


Marge continentale affectée par la collision

 Grès et conglomérats - Microbrèches et flysch gréseux - Unités pré-piémontaises - Nebbio

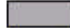
 Conglomérats de la Punta d'Arco (Nappe du bas-Ostriconi) - Conglomérats et calcaires sableux à foraminifères

 Conglomérats, marno-calcaires - Nappe de Santa-Lucia

 Calcaires détritiques, brèches - Arkoses et formations calcaréo-siliceuses - Calcaire de Caporalino


 Calcaires - Dolomies

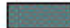
Domaine océanique à influence continentale


 Formation de l'Annunciata - Nappe de Balagne : flysch


 Conglomérats et grès à éléments granitiques - Calcaires - flysch - Nappe de Balagne

 Radiolarites

 Calcaires et pérites calcareuses

 Éléments de complexe ophiolitique avec détritisme continental


 Complexe ophiolitique


 Métagranitoïdes et metabasites du massif de Pigno

Domaine océanique Liguro-Piémontais interne

 Pérites schisteuses


 Radiolarites


 Complexe ophiolitique


 Complexe ophiolitique des domaines liguro-piémontais interne et externe : péridotites

 Conglomérats et brèches


Couverture autochtone de la marge continentale sud-européenne

 Grès et flysch gréseux

 Calcaires - Conglomérats et grès


 Calcaires - Brèches


Complexes liés à l'extension post-collisionnelle hercynienne


 Conglomérats, grès et siltites


 Rhyolites


 Granites perthitiques hyperalkalins

 Complexes basiques et ultrabasiques

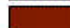
 Succession volcano-sédimentaire andésitique - Dacitique et rhyolitique


 Leucomonzogranites à biotite


 Monzogranites à biotite

 Granodiorites


 Leucomonzogranites et syenoleucogranite

 Roches mafiques et ultrapotassiques

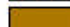
 Monzogranites


 Monzogranites et granodiorites à biotite

Socle panafricain et sa couverture autochtone


 Flysch - Calcaires de Capitello

 Conglomérats et grès quartzeux, shales noirs, quartzites et lydienes à graptolites

 Grès et quartzites gris

 Métapélites et grès polydéformés


Socle paléozoïque et précambrien réactivé dans le cycle hercynien

 Complexe migmatitique polymétamorphique à orthogneiss

 Metabasites

ZONE DES NAPPES

Nappes internes

 Orthogneiss et gneiss ocellés